

А. И. ГУДЗЕНКО, В. Е. СОТИН, А. А. ТИЩЕНКО
(Москва)

ФАЗОВЫЕ ХАРАКТЕРИСТИКИ ПЛАНАРНОГО ДИЭЛЕКТРИЧЕСКОГО ВОЛНОВОДА ВБЛИЗИ МЕТАЛЛИЧЕСКИХ ТЕЛ

Введение. В реальных устройствах интегральной оптики, выполненных на базе планарных несимметричных диэлектрических волноводов [1], неизбежно присутствие вспомогательных металлических элементов: соединительных проводников, крепежных деталей и т. п. Если такой элемент расположен вблизи несущего слоя на расстоянии, соизмеримом с длиной оптической волны, параметры планарного волновода и, в частности, набег фазы на его длине изменяются по сравнению с параметрами волновода при отсутствии вблизи него посторонних предметов. Поскольку многие устройства интегральной оптики (планарные модуляторы, дефлекторы, интерферометры) весьма чувствительны к изменению фазового набега по длине волновода, представляет интерес количественная оценка указанного изменения.

Настоящая работа имеет целью разработку простой методики расчета влияния металлических тел на изменение набега фазы по длине волновода и количественной оценки фазовых характеристик волновода вблизи металлических тел с практическими интересной конфигурацией.

Для простоты и наглядности рассматривается двумерный случай одномодового режима волн типа ТЕ в плоском трехслойном волноводе без потерь с зависимостью полей от времени вида $\exp(j\omega t)$.

Дисперсионное уравнение и его решение. Вначале рассмотрим планарный диэлектрический волновод (рис. 1), состоящий из окруженного диэлектриками 1 и 3 несущего слоя 2, вблизи которого на расстоянии h расположена металлическая плоскость. В направлениях y , z , а также в направлении x при $x > h + d$ и $x < 0$ система бесконечна. Относительные диэлектрические проницаемости системы удовлетворяют $\epsilon_2 > \epsilon_1$, ϵ_3 , а относительные магнитные проницаемости слоев — $\mu_1 = \mu_2 = \mu_3 = 1$. Для такой системы комплексные амплитуды напряженностей электрического E и магнитного H полей волн, распространяющихся слева направо относительно рис. 1, можно представить в виде

$$\begin{aligned} E_{1y} &= E_1 \exp[-k_{x1}(x-h-d)]; \\ E_{2y} &= E'_2 \exp[-jk_{x2}(x-h)] + E''_2 \exp[jk_{x2}(x-h)]; \end{aligned} \quad (1)$$

$$\begin{aligned} E_{3y} &= E_3 \sin(k_{x3}x); \\ H_{1z} &= \frac{k_{x1}}{j\omega\mu_0} E_1 \exp[-k_{x1}(x-h-d)]; \\ H_{2z} &= \frac{k_{x2}}{\omega\mu_0} \{E'_2 \exp[-jk_{x2}(x-h)] - E''_2 \exp[jk_{x2}(x-h)]\}; \end{aligned} \quad (2)$$

$$H_{3z} = -\frac{k_{x3}}{j\omega\mu_0} E_3 \sin(k_{x3}x),$$

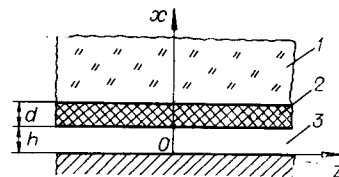


Рис. 1.

где μ_0 — магнитная проницаемость свободного пространства;

$$k_{x1} = (k_z^2 - k_1^2)^{1/2}, \quad k_{x2} = (k_2^2 - k_z^2)^{1/2}, \quad k_{x3} = (k_z^2 - k_3^2)^{1/2} -$$

поперечные волновые числа в средах 1, 2, 3 соответственно; k_1, k_2, k_3 — волновые числа в тех же средах (свободных); $k_z = \gamma k_0$ — продольное волновое число; γ — коэффициент замедления; k_0 — волновое число для свободного пространства.

Проделав с выражением (1) и (2) операции, аналогичные приведенным в [2], получим для рассматриваемой системы следующее дисперсионное уравнение:

$$\operatorname{tg} k_{x2}d = k_{x2} \frac{k_{x3} \operatorname{th} k_{x3}h + k_{x3}}{k_{x2}^2 \operatorname{th} k_{x3}h - k_{x1}k_{x3}}. \quad (3)$$

Анализ (3) можно провести по аналогии с [2]. Однако этот путь приводит к громоздким конечным выражениям. Более удобный прием заключается в выделении в (3) двух частей, одна из которых описывает хорошо изученное дисперсионное уравнение планарного волновода без посторонних предметов вблизи него, а вторая учитывает влияние металлической плоскости, расположенной на конечном от несущего слоя волновода расстоянии.

Воспользуемся этим приемом и рассмотрим два случая:
а) $k_{x3}h \gg 1$.

Разделим числитель и знаменатель выражения (3) на $k_{x2}^2 \operatorname{th} k_{x3}h$ и представим полученное дисперсионное уравнение в виде

$$k_{x2}d = \operatorname{arctg}(k_{x1}/k_{x2}) + \operatorname{arctg}(k_{x3}/(k_{x2} \operatorname{th} k_{x3}h)). \quad (3')$$

Второе слагаемое в (3') с учетом выражения

$$\operatorname{th} k_{x3}h \approx 1 - \Delta,$$

где

$$\Delta = 2 \exp(-2k_{x3}h) - 2 \exp(-4k_{x3}h) - \dots,$$

разложим в ряд Тейлора:

$$\begin{aligned} \operatorname{arctg}\left(\frac{k_{x3}}{k_{x2} \operatorname{th} k_{x3}h}\right) &\approx \operatorname{arctg}\frac{k_{x3}}{k_{x2}} + \Delta \frac{k_{x3}}{k_{x2}} \frac{1}{1 + \left(\frac{k_{x3}}{k_{x2}}\right)^2} - \\ &- \Delta^2 \frac{1}{\left[1 + \left(\frac{k_{x3}}{k_{x2}}\right)^2\right]^2} \left(\frac{k_{x3}}{k_{x2}}\right)^2 + \dots \end{aligned} \quad (4)$$

Используя (4), можно переписать (3') в следующем виде:

$$k_{x2}d - \operatorname{arctg}(k_{x1}/k_{x2}) - \operatorname{arctg}(k_{x3}/k_{x2}) = A(\Delta, \gamma), \quad (5)$$

здесь $A(\Delta, \gamma)$ — правая часть (4) без первого слагаемого.

Отметим, что при $A(\Delta, \gamma) = 0$ выражение (5) представляет собой дисперсионное уравнение несимметричного планарного волновода [2]

$$F(\gamma)_{\gamma=\gamma_0} = 0, \quad (6)$$

где γ_0 — коэффициент замедления, соответствующий решению данного уравнения. Обозначив коэффициент замедления планарного волновода с металлической плоскостью, расположенной вблизи него, через

$$\gamma = \gamma_0 + \delta\gamma,$$

где $\delta\gamma$ — добавка к γ_0 , обусловленная расположенной вблизи волновода металлической плоскостью, с учетом членов 1-го порядка малости запишем (5) в виде

$$F(\gamma_0 + \delta\gamma) = A(\Delta, \gamma_0). \quad (6')$$

Представив левую часть (6') рядом Тейлора в окрестности $\gamma = \gamma_0$, с учетом (6) получим

$$\delta\gamma F'(\gamma_0) + 1/2(\delta\gamma)^2 F''(\gamma_0) + \dots = A(\Delta, \gamma_0). \quad (7)$$

Решая (7) в необходимом приближении, можно получить зависимость $\delta\gamma = \delta\gamma(h)$.

Учет членов только первого порядка малости приводит к выражению

$$\delta\gamma = \Delta \frac{\left[1 + \left(\frac{k_{x3}}{k_{x2}}\right)^2\right]^{-1} - 1}{F'(\gamma_0)} \frac{k_{x3}}{k_{x2}}. \quad (8)$$

б) $k_{x3}h \ll 1$.

Представим $\operatorname{th} k_{x3}h$ рядом Маклорена и перепишем (3) в виде

$$\operatorname{tg} k_{x2}d + k_{x2}/k_{x1} = -k_{x2}/k_{x1} [k_{x1}h + k_{x2}hk_{x2}/k_{x1}(1 + k_{x1}h + k_{x2}hk_{x2}/k_{x1} + \dots)]. \quad (9)$$

При $h=0$ (9) переходит в дисперсионное уравнение для нечетной направляемой поверхностной волны в симметричном планарном волноводе толщиной $2d$, находящемся в среде 1 [3]:

$$\Phi(\gamma)_{\gamma=\gamma_0} = 0,$$

где γ_0 — коэффициент замедления, соответствующий решению данного уравнения.

Обозначив коэффициент замедления исследуемого волновода с металлической плоскостью вблизи него через $\gamma = \gamma_0 + \delta\gamma$ и следуя методике, изложенной в п. а, можно получить $\delta\gamma$ с учетом членов первого порядка малости:

$$\delta\gamma = -\frac{k_{x2}h}{\Phi'(\gamma_0)} \frac{k_2^2 - k_1^2}{k_0^2\gamma_0^2 - k_1^2}. \quad (10)$$

Расчет фазовых характеристик. Исходным выражением для расчета фазовых характеристик регулярных волноводов является уравнение (3), определяющее зависимость фазового замедления волновода от расстояния волновода до металлической плоскости. Это уравнение остается справедливым и в случае монотонно меняющегося расстояния между металлом и волноводом, когда радиусы кривизны R металлической плоскости значительно превышают длину оптической волны.

В этом случае расчет фазовых характеристик волновода в зависимости от формы металлической поверхности сводится к вычислению интеграла

$$\delta\varphi = k_0 \int_{z_1}^{z_2} \delta\gamma(h) dz, \quad (11)$$

где $\delta\gamma(h)$ — разность между замедлением волновода с металлом на расстоянии h от несущего слоя и замедлением волновода с $h \rightarrow \infty$, а z_1 и z_2 — границы металлического тела вдоль оси z .

Наиболее простыми случаями являются такие, при которых справедливы приближенные выражения (8) для больших h и (10) для малых h . В этих случаях интеграл (11) может быть вычислен в явном виде.

Приближенные формулы (8) и (10) получены при учете только первого члена разложения в ряд по степеням малого параметра. Погрешность вычислений по этим формулам всегда можно оценить или при учете следующего члена ряда, пропорционального второй степени

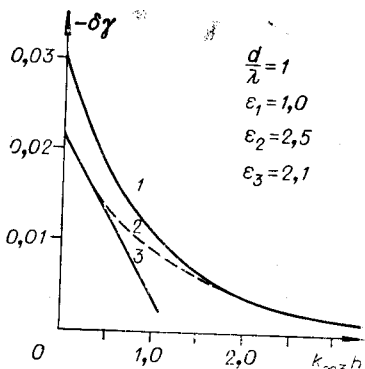


Рис. 2.

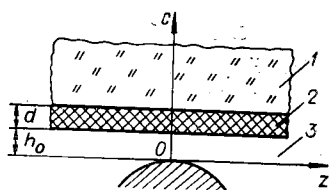


Рис. 3.

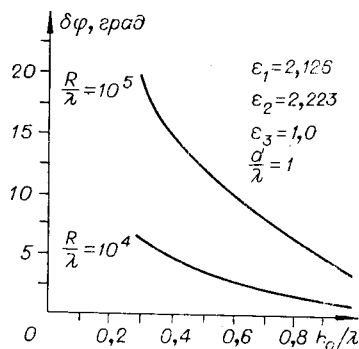


Рис. 4.

использовать и при расчете влияния на $\delta\varphi$ кругового цилиндра радиуса R .

В качестве примера на рис. 4 представлены рассчитанные по формуле (12) графики изменения фазы оптической волны, распространяющейся в несимметричном планарном волноводе, под которым расположено металлическое тело в виде кругового цилиндра. Полученные результаты свидетельствуют о необходимости учета влияния металлических тел на фазу оптической поверхности волны в случае их размещения вблизи несущего слоя на расстояниях, соизмеримых с длиной оптической волны.

ЛИТЕРАТУРА

- Золотов Е. М., Киселев В. А., Сычугов В. А. Оптические явления в тонкопленочных волноводах.—«УФН», 1974, т. 112, № 2, с. 231.
- Дерюгин Л. Н., Марчук А. Н., Сотин В. Е. Свойства плоских несимметричных диэлектрических волноводов на подложке из диэлектрика.—«Изв. высш. учеб. заведений. Радиоэлектроника», 1967, т. X, № 2, с. 134.
- Маркузе Д. Оптические волноводы. М., «Мир», 1974, с. 395—396.
- Янке Е., Эмде Ф., Леш Ф. Специальные функции. М., «Наука», 1964, с. 70.

Поступила в редакцию 9 ноября 1976 г.; окончательный вариант — 4 апреля 1977 г.

малого параметра, или сравнением значений $\delta\gamma$ по этим формулам с решениями точного дисперсионного уравнения (3).

На рис. 2 в качестве примера приведены зависимости $-\delta\gamma(h)$, вычисленные из уравнения (3) (кривая 2) и по приближенным формулам (8) и (10) (кривые 1 и 3 соответственно), для волновода со следующими параметрами: $\epsilon_1 = 1,0$; $\epsilon_2 = 2,5$; $\epsilon_3 = 2,1$; $d/\lambda = 1$. Из зависимостей, приведенных на этом рисунке, видно, что при $k_{x3}h > 2$ и $k_{x3}h < 0,4$ различие между значениями $\delta\gamma$, вычисленными из уравнения (3), и определяемыми приближенными выражениями (8) и (10) пренебрежимо мало. Это позволяет при вычислениях $\delta\varphi$ использовать простое приближенное выражение для $\delta\gamma(h)$ в широком диапазоне значений h/λ .

В приведенном примере волновода выражение (8) справедливо при $h/\lambda > 0,3$.

Если металлическое тело имеет форму параболического цилиндра (рис. 3) с образующей

$$x = h_0 + z^2/2R,$$

где $R = \text{const}$ при $h_0 > 0,2\lambda$, когда справедливо выражение (8) для $\delta\gamma$, вычисление $\delta\varphi$ по (11) сводится с помощью [4] к интегралу вероятности и приводит к простой зависимости:

$$\delta\varphi = 2k_0 k_{x3} \frac{k_{x2}}{(k_{x2}^2 + k_{x3}^2) F'(\gamma_0)} \times \exp(-2k_{x3}h_0) \sqrt{\frac{\pi R}{k_{x3}}}. \quad (12)$$

Поскольку удаленные от несущего слоя участки металлических тел слабо влияют на величину $\delta\varphi$, выражение (12) можно